

동굴처분 사일로 폐쇄방안별 핵종이동 비교분석

박진백, 박주완, 김창락

한국수력원자력(주) 원자력발전기술원, 대전광역시 유성구 장동 25-1번지

jbpark@khnp.co.kr

1. 서론

방사성폐기물 동굴처분시설의 콘크리트 구조물(사일로) 주변 및 사일로내부에서의 방사성핵종 이동 평가는 폐기물 영역으로부터 주변 인공방벽 층을 통과하여 부지 암반층에 도달할 때까지 각 층을 통과하는 지하수에 의한 이류와 각 영역간의 농도구배에 의해 생기는 확산을 고려하게 된다. 따라서 처분사일로 통과 지하수량 혹은 지하수 유속은 핵종이동 평가상 중요한 파라미터 가운데 하나이다. 본 논문에서는 처분사일로 내부 및 주변의 폐쇄물질 조합에 대해 지하수유동 모델링에 의한 처분사일로 내부로의 지하수 침투량 분석결과를 활용하여 사일로 침투수량 즉, 사일로 통과 지하수 유량이 핵종 누출에 미치는 영향을 비교·분석하였다.

2. 처분사일로 폐쇄 개념모델 대안

핵종이동 평가대상인 처분 사일로 폐쇄설계 개념의 대안과 이에 대한 지하수 유동해석 결과는 참고문헌 [1]을 이용하였다. 사일로 구조물 내·외벽에의 폐쇄물질 적용여부에 따라 2가지 경우 (Case 1과 2)로 구분하되, 후보폐쇄물질에 따라 Case 1에는 2가지(Case1_M1: 구조물내부+분쇄석 뒷채움, Case1_M2: 구조물내부+시멘트몰탈 뒷채움), Case 2에는 3가지(Case2_M1: 구조물외부+분쇄석 뒷채움, Case2_M2: 구조물외부+벤토나이트+모래 혼합재 뒷채움, Case2_M3: 구조물외부+벤토나이트 뒷채움)등 5가지 폐쇄설계 개념모델이 설정되었다. 핵종이동 모델링을 위한 사일로 단면의 제원 및 물성은 참고문헌 [1]에서와 동일하며, 콘크리트 구조물은 폐쇄후 1,000년 후에 완전 열화하는 것으로 가정하였다. 각 경우에 대한 평가결과로 도출되는 암반으로의 핵종누출률은 사일로 내 핵종재고량, 분배계수 등 이동에 영향을 주는 입력변수의 핵종별 상대적 영향을 무시하기 위해 Case1_M1에 대한 값으로 분율화하였다. 핵종이동평가에는 시스템레벨의 모델링이 가능한 MOSAIC코드가 사용되었다[2].

3. 평가결과 비교 검토

지하수 유동해석 결과, 표 1에서 보는 바와 같이 지하수 침투 억지능력은 저투수성 방벽을 사용하는 경우인 Case2_M3가 다른 후보물질에 비하여 현저히 우월한 것으로 평가되었다[1].

표 1. 폐쇄개념별 처분사일로 통과 지하수 유량 변화 - Case1_M1 대비 상대비율

폐쇄 개념	콘크리트 구조물 열화 전	콘크리트 구조물 열화 후
Case1_M1	1	1
Case1_M2	7.72E-01	7.81E-01
Case2_M1	1.50E-01	9.56E-01
Case2_M2	1.04E+00	5.41E-01
Case2_M3	4.33E-02	4.96E-02

구조물 외부에 분쇄석을 사용하는 경우(Case2_M1)가 내부에 분쇄석을 사용하는 경우 (Case1_M1)에 비해 침투수량이 적은 이유는 콘크리트 구조물의 투수계수(콘크리트가 견전한 경우

$K=3E-11 \text{ m/s}$, 콘크리트가 열화한 경우 $K=1E-8 \text{ m/s}$)에 비해 그 주변 분쇄석의 투수계수($K=1E-4 \text{ m/s}$)가 현저히 크므로 지하수가 선택적으로 방벽을 통과하는 소위 "hydraulic cage"가 형성되기 때문인 것으로 판단된다.

그림 1은 처분사일로 주변 암반으로의 핵종별 최대 누출률(Bq/yr)을 비교한 것이다. 지하수 유량 변화의 경우와 마찬가지로 Case1_M1에 대비한 상대비율로 나타내었다. 그림에서 알 수 있는 바와 같이 단반감기, 비이동성 핵종인 Ni-63, Sr-90, Cs-137 등의 경우 콘크리트 구조물 열화전의 지하수 유동 거동과 유사한 변화를 보이고 있으며, 이에 비해 장반감기, 이동성 핵종인 C-14, Ni-59, Nb-94, I-129 등은 콘크리트 구조물 열화 후의 지하수 유동 양상과 유사한 변화를 보이고 있다.

한편 단반감기이면서 이동성 핵종인 H-3은 열화 후의 양상을, 장반감기이고 비이동성 핵종인 전 알파핵종은 열화 전의 양상을 나타내고 있다. 사일로 침투수량이 핵종별로 나타나는 누출률의 민감도는 침투수량의 감소에 따라 발생하는 최대 누출률의 자연시간과 핵종별 반감기와의 관계에 의해 생기는 것을 알 수 있다. 즉, 콘크리트 구조물의 열화시기 보다 긴 반감기를 가진 핵종의 경우에도 I-129의 경우는 인공방벽에서의 흡착에 의한 누출률의 최대치 도달시간이 핵종의 반감기(반감기: $1.57E+7\text{년}$)에 대해 상대적으로 작기 때문에 다른 핵종에 비해 유속의 감소에 따른 방사능의 감쇠를 기대하기 어려워 민감도가 크지 않게 나타나며, 이에 비해 C-14(반감기: $5.73E+3\text{년}$), Ni-59(반감기: $7.54E+4\text{년}$) 등은 상대적으로 민감도가 더 크게 나타나고 있다.

또한 핵종의 반감기와 인공방벽에서의 흡착특성에 의해 사일로 침투수가 핵종 누출률에 미치는 영향이 다르게 나타나지만, 침투수 억제능력이 우월한 Case2_M3에서 거의 모든 핵종에 대해 인공방벽에 의한 핵종누출이 억제될 수 있음을 보여주고 있으며, 따라서 저투수성 방벽을 적절히 설치하여 사일로로의 침투수를 억제하는 것은 중요하다고 할 수 있다.

Comparison of Near-Field Release Rate

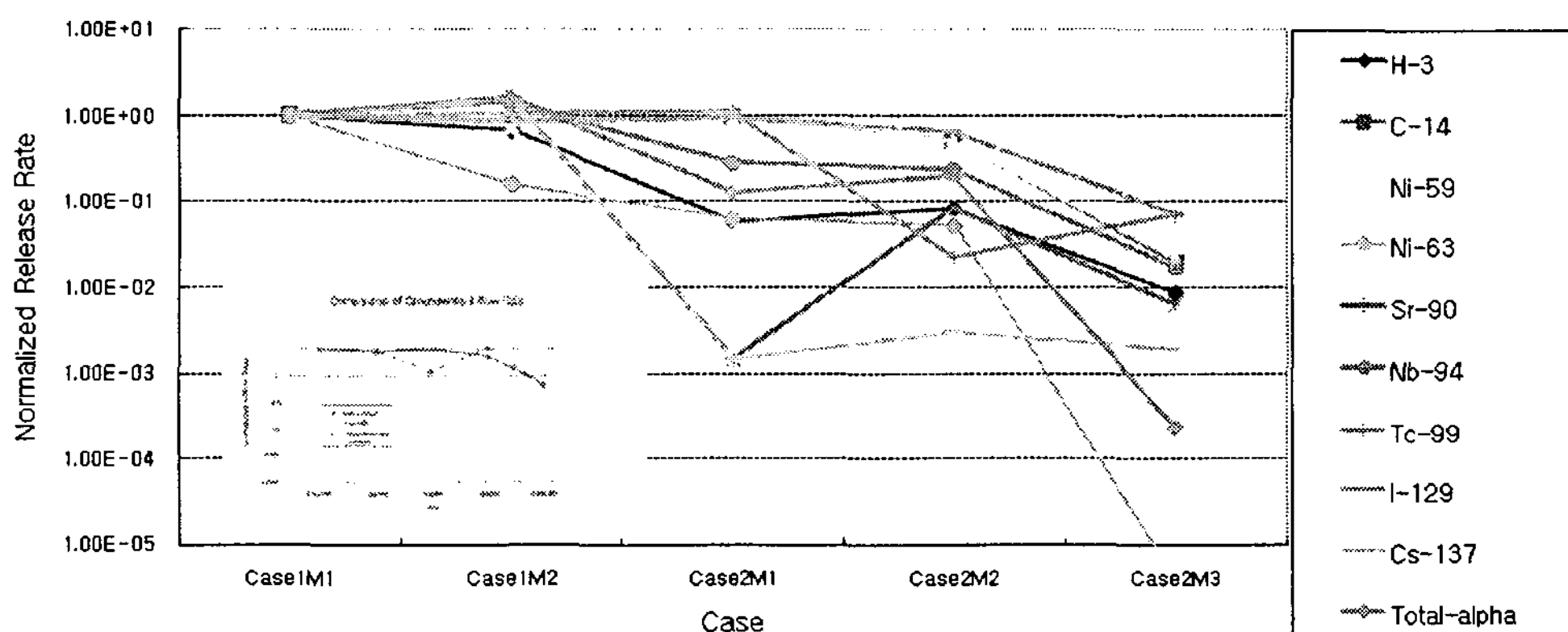


그림 1. 처분사일로 주변 암반으로의 핵종 누출률 비교

참고문헌

- [1] 조성일, 이은용, 김창락, “방사성폐기물 처분사일로 폐쇄를 위한 수리적 방벽효과 해석”, 한국방사성폐기물학회 2008 춘계학술발표회, 서울, 5. 22-23, 2008.
- [2] Wei Zhou, Matthew W. Kozak, George Mungov, Joowan Park, Chang-Lak Kim, Jin-Beak Park, and Ji-Hoon Lee, "MOSAIC: MODular Safety Assessment code with Integrated Concrete analysis, A computer program and database for the Korean concept for L/ILW disposal safety assessment", Jan. 2006.